

CHAPTER
16

Windowed-Sinc Filters Windowed-Sinc Фильтры

Windowed-sinc filters are used to separate one band of frequencies from another. They are very stable, produce few surprises, and can be pushed to incredible performance levels. These exceptional frequency domain characteristics are obtained at the expense of poor performance in the time domain, including excessive ripple and overshoot in the step response. When carried out by standard convolution, windowed-sinc filters are easy to program, but slow to execute. Chapter 18 shows how the FFT can be used to dramatically improve the computational speed of these filters.

Windowed-sinc фильтры используются, чтобы отделить одну полосу частот от другой. Они очень устойчивы, производят немного удивлений неожиданностей, и могут быть помещены в невероятные уровни эффективности. Эти исключительные характеристики в частотном домене получены за счет плохой эффективности в домене времени, включая чрезмерную рябь и перерегулирование в реакции на скачок. Когда выполнено стандартным скручиванием(сверткой), windowed-sinc фильтры просто программировать, но замедлиться, чтобы выполняться. Глава 18 показывает, как БПФ может использоваться, чтобы драматично улучшить вычислительное быстродействие этих фильтров.

Strategy of the Windowed-Sinc Стратегия Windowed-Sinc

Figure 16-1 illustrates the idea behind the windowed-sinc filter. In (a), the frequency response of the *ideal* low-pass filter is shown. All frequencies below the cutoff frequency, f_c , are passed with unity amplitude, while all higher f_c frequencies are blocked. The pass band is perfectly flat, the attenuation in the stopband is infinite, and the transition between the two is infinitesimally small.

Рисунок 16-1 иллюстрирует идею после фильтрации windowed-sinc. В (а), показывается частотная характеристика *идеального* фильтра нижних частот. Все частоты ниже граничной частоты, f_c , пропускаются с амплитудой единицы, в то время как все частоты выше блокированы. Полоса пропускания - совершенно плоская, ослабление полосы ослабления бесконечно, и переход(сопряжение) между ними бесконечно мал(о).

Taking the Inverse Fourier Transform of this ideal frequency response produces the ideal filter kernel (impulse response) shown in (b). As previously discussed (see Chapter 11, Eq. 11-4), this curve is of the general form: $\sin(x)/x$, called the **sinc function**, given by:

Взятие Обратного Преобразования Фурье(трансформанты Фурье) из этой идеальной частотной характеристики производит ядро идеального фильтра (импульсная передаточная функция), показанная в (b). Как предварительно обсуждено (см. главу 11, уравнение 11-4), эта кривая имеет общую форму: $\sin(x)/x$, называемую **sinc функцией**, данной:

$$h[i] = \frac{\sin(2\pi f_c i)}{i\pi}$$

Convolving an input signal with this filter kernel provides a *perfect* low-pass filter. The problem is, the sinc function continues to both negative and positive infinity without dropping to zero amplitude. While this infinite length is not a problem for *mathematics*, it is a showstopper for *computers*.

Конволюция входного сигнала с ядром этого фильтра обеспечивает *совершенный* фильтр нижних частот. Проблема, sinc функция простирается и к отрицательной и к положительной бесконечности без того, чтобы амплитуда опустилась до нуля. В то время как эта бесконечная длина - не проблема для *математики*, это - затруднительно для *компьютеров*.

To get around this problem, we will make two modifications to the sinc function in (b), resulting in the waveform shown in (c). First, it is truncated to $M+1$ points, symmetrically chosen around the main lobe, where M is an even number. All samples outside these $M+1$ points are set to zero, or simply ignored. Second, the entire sequence is shifted to the right so that it runs from 0 to M . This allows the filter kernel to be represented using only *positive* indexes. While many programming languages allow *negative* indexes, they are a nuisance to use. The sole effect of this $M/2$ shift in the filter kernel is to shift the output signal by the same amount.

Чтобы обойти эту проблему, мы будем делать две модификации к sinc функции в (b), приводя к форме волны, показанной в (c). Во первых, это усечено к $M+1$ точкам, симметрично выбранным вокруг основного лепестка, где M - четное число. Все выборки вне этих $M+1$ точек, установлены на нуль, или просто игнорируются. Во вторых, полная последовательность сдвинута направо так, чтобы это выполнялось от 0 до M . Это позволяет ядру фильтра быть представленным, используя только *положительные* индексы. В то время как много языков программирования позволяют *отрицательные* индексы, они - помеха(мешают), к использованию. Единственный эффект этого сдвига $M/2$ в ядре фильтра - сдвиг сигнала выхода тем же самым количеством.

Since the modified filter kernel is only an approximation to the ideal filter kernel, it will not have an ideal frequency response. To find the frequency response that is obtained, the Fourier transform can be taken of the signal in (c), resulting in the curve in (d). It's a mess! There is excessive ripple in the passband and poor attenuation in the stopband (recall the Gibbs effect discussed in Chapter 11). These problems result from the abrupt discontinuity at the ends of the truncated sinc function. Increasing the length of the filter kernel does not reduce these problems; the discontinuity is significant no matter how long M is made.

Так как изменяемое ядро фильтра - только аппроксимация к ядру идеального фильтра, оно не будет иметь идеальной частотной характеристики. Чтобы найти частотную характеристику, которая получена, трансформанта Фурье, может быть принята из сигнала в (c), приводя к кривой в (d). Это - беспорядок! Имеется чрезмерная рябь в полосе пропускания и плохое ослабление в полосе задерживания (чтобы повторно вызвать эффект Гиббса, обсужденный в главе 11). Эти проблемы следуют из резкого разрыва в конце усеченной sinc функции. Увеличение длины ядра фильтра не приводит эти проблемы; разрыв существен(значителен) независимо от того, каким длинным сделан M .

Fortunately, there is a simple method of improving this situation. Figure (e) shows a smoothly tapered curve called a **Blackman window**. Multiplying the truncated-sinc, (c), by the Blackman window, (e), results in the **windowed-sinc** filter kernel shown in (f). The idea is to reduce the abruptness of the truncated ends and thereby improve the frequency response. Figure (g) shows this improvement. The passband is now flat, and the stopband attenuation is so good it cannot be seen in this graph.

К счастью, имеется простой метод улучшения этой ситуации. Рисунок (е) показывает гладко суженную кривую называемую **окном Blackman**. Умножение усеченной - sinc, (с), окном Blackman, (е), приводит к **windowed-sinc** фильтра, показанное в (f). Идея состоит в том, чтобы привести внезапность(крутизну; обрывистость) обрезанных концов и таким образом улучшить частотную характеристику. Рисунок (g) показывает это уточнение. Полоса пропускания - теперь плоская, и ослабление полосы задерживания(полосы затухания; полосы ослабления) настолько хорошо, что не может быть замечено в этой диаграмме(графике).

Several different windows are available, most of them named after their original developers in the 1950s. Only two are worth using, the **Hamming window** and the **Blackman window** These are given by:

Несколько различных окон доступны, большинство их названы по именам их первоначальных разработчиков в 1950-ых. Только два стоит использовать, Окно Хемминга и окно Blackman, даются уравнениями 16-1 и 16-2:

EQUATION 16-1. The Hamming window.

These windows run from $i = 0$ to M , for a total of $M+1$ points.

$$w[i] = 0.54 - 0.46 \cos(2\pi i/M)$$

УРАВНЕНИЕ 16-1. Окно Хемминга.

Эти окна, выполнены от $i = 0$ к M , для общего(совокупного) количества точек $M+1$.

EQUATION 16-2.

The Blackman window.

$$w[i] = 0.42 - 0.5 \cos(2\pi i/M) + 0.08 \cos(4\pi i/M)$$

УРАВНЕНИЕ 16-2.

Окно Blackman.

Figure 16-2a shows the shape of these two windows for $M = 50$ (i.e., 51 total points in the curves). Which of these two windows should you use? It's a trade-off between parameters. As shown in Fig. 16-2b, the Hamming window has about a 20% faster *roll-off* than the Blackman. However, (c) shows that the Blackman has a better *stopband attenuation*. To be exact, the stopband attenuation for the Blackman is -74dB (-0.02%), while the Hamming is only -53dB (-0.2%). Although it cannot be seen in these graphs, the Blackman has a *passband ripple* of only about 0.02%, while the Hamming is typically 0.2%. In general, the Blackman should be your first choice; a slow roll-off is easier to handle than poor stopband attenuation.

Рисунок 16-2а показывает форму этих двух окон для (то есть, 51 полных(совокупных) точки в кривых). Которое из этих двух окон Вы должны использовать? Это - обмен между параметрами. Как показано в рис. 16-2b, Окно Хемминга имеет более быстрый *завал(спад)* (около 20 %) чем Blackman. Однако, (с) показывает, что Blackman имеет лучше *Ослабление полосы задерживания*. Чтобы быть точным, ослабление *полосы задерживания* для Blackman - -74dB (~0.02 %), в то время как Хемминга - только -53dB (~0.2%). Хотя это не может быть замечено в этих диаграммах(графиках), Blackman имеет *неравномерность в полосе пропускания* приблизительно 0.02%, в то время как для Хемминга - типично 0.2 %. Вообще, Blackman должен быть вашим первый выбором; медленный *завал(спад)* проще, чтобы обработать чем плохая полоса задерживания полосы ослабления.

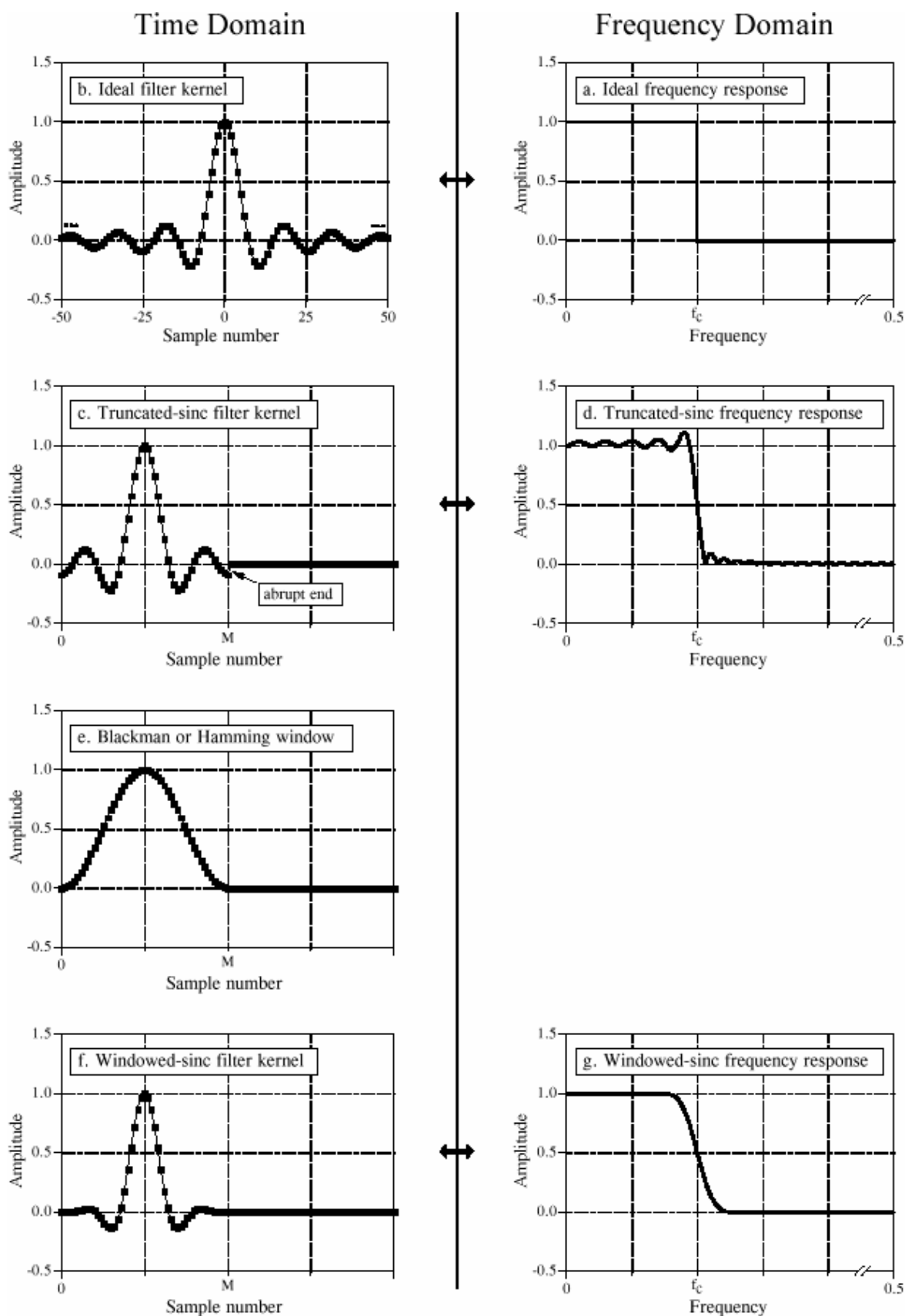


FIGURE 16-1 (facing page)

Derivation of the windowed-sinc filter kernel. The frequency response of the ideal low-pass filter is shown in (a), with the corresponding filter kernel in (b), a sinc function. Since the sinc is infinitely long, it must be truncated to be used in a computer, as shown in (c). However, this truncation results in undesirable changes in the frequency response, (d). The solution is to multiply the truncated-sinc with a smooth window, (e), resulting in the windowed-sinc filter kernel, (f). The frequency response of the windowed-sinc, (g), is smooth and well behaved. These figures are not to scale.

Рисунок 16-1. Получение(Происхождение) ядра windowed-sinc фильтра.

Частотная характеристика идеального фильтра нижних частот показывается в (а), с соответствующим ядром фильтра в (b), sinc функции. Так как sinc - бесконечно долгов, это должно быть усечено, чтобы использоваться в компьютере, как показано в (c). Однако, это усечение приводит к нежелательным изменениям в частотном ответе(частотной характеристике), (d). Решение состоит в том, чтобы умножить обрезанный - sinc гладким окном, (e), приводя к ядру windowed-sinc фильтра, (f). Частотная характеристика windowed-sinc, (g), является гладкой и хорошо себя ведет. Эти рисунки не должны масштабировать.

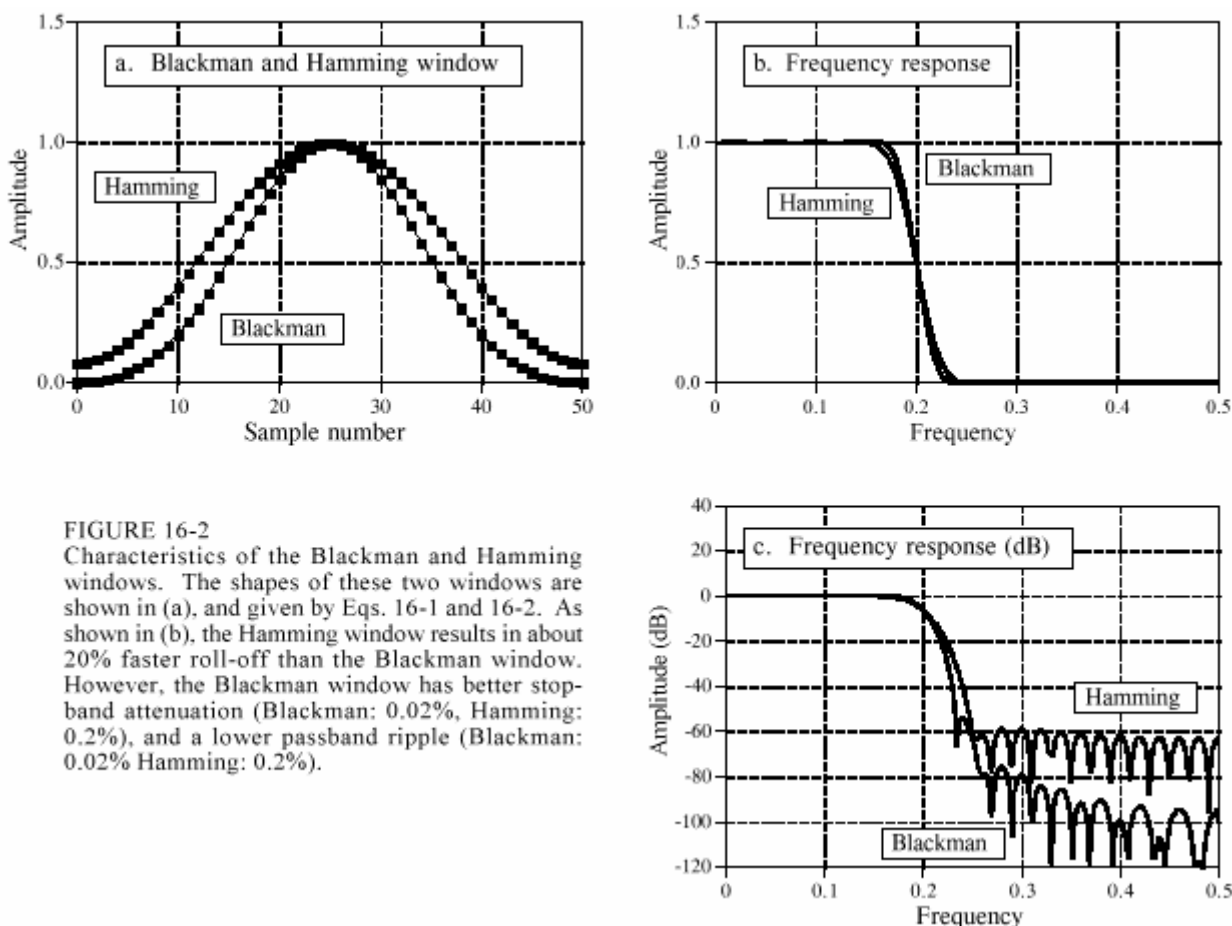


FIGURE 16-2
 Characteristics of the Blackman and Hamming windows. The shapes of these two windows are shown in (a), and given by Eqs. 16-1 and 16-2. As shown in (b), the Hamming window results in about 20% faster roll-off than the Blackman window. However, the Blackman window has better stop-band attenuation (Blackman: 0.02%, Hamming: 0.2%), and a lower passband ripple (Blackman: 0.02% Hamming: 0.2%).

FIGURE 16-2

Characteristics of the Blackman and Hamming windows. The shapes of these two windows are shown in (a), and given by Eqs. 16-1 and 16-2. As shown in (b), the Hamming window results in about 20% faster roll-off than the Blackman window. However, the Blackman window has better stop-band attenuation (Blackman: 0.02%, Hamming: 0.2%), and a lower passband ripple (Blackman: 0.02% Hamming: 0.2%).

РИСУНОК 16-2. Характеристики окон Блэкмана и Хемминга.

Формы из этих двух окон показываются в (а), и даны уравнениями, 16-1 и 16-2. Как показано в (b), Окно Хемминга приводит приблизительно к 20 % более быстрый завал(спад) чем окно Блэкмана. Однако, окно Блэкмана имеет лучшее ослабление *полосы подавления(задерживания)* (Блэкман: 0.02 %, Хемминг: 0.2 %), и более низкую неравномерность в полосе пропускания (Блэкман: 0.02 %, Хемминг: 0.2 %).

There are other windows you might hear about, although they fall short of the Blackman and Hamming. The **Bartlett window** is a triangle, using straight lines for the taper. The **Hanning window**, also called the **raised cosine window**, is given by: $w[i] = 0.5 - 0.5\cos(2\pi i/M)$. These two windows have about the same roll-off speed as the Hamming, but worse stopband attenuation (Bartlett: -25dB or 5.6%, Hanning -44dB or 0.63%). You might also hear of a **rectangular window**. This is the same as *no* window, just a truncation of the tails (such as in Fig. 16-1c). While the roll-off is -2.5 times faster than the Blackman, the stopband attenuation is only -21dB (8.9%).

Имеются другие окна, относительно которых Вы могли бы слышать, хотя они не достигают(имеют худшие показатели) Блэкмана и Хемминга. **Окно Бартлета** - треугольник, используя прямые линии для заострения. **Окно Хэмминга**, также называемое **поднятым окном косинуса**, дается: $w[i] = 0.5 - 0.5\cos(2\pi i/M)$. Эти два окна имеют тот же относительно ту же самую скорость завала(спада) как Хемминг, но худшее ослабление полосы задерживания (Барлетт: -25dB или 5.6 %, Хэмминг - 44dB или 0.63 %). Вы могли бы также слышать о прямоугольном окне. Это - то же самое как *никакое* окно, только усечение остатков(хвостов)(срезов импульса?) (типа в рис. 16-1с). В то время как завал(спад) - -2.5 раза быстрее чем Блэкман, ослабление полосы задерживания - только -21dB (8.9 %).

Designing the Filter

Проектирование Фильтра

To design a windowed-sinc, two parameters must be selected: the cutoff frequency, f_c , and the length of the filter kernel, M . The cutoff frequency is expressed as a fraction of the sampling rate, and therefore must be between 0 and 0.5. The value for M sets the *roll-off* according to the approximation:

Чтобы проектировать windowed-sinc, два параметра должны быть отобраны: граничная частота, f_c , и длина ядра фильтра, M . Граничная частота выражена как дробь(доля) частоты выборки, и поэтому должна быть между 0 и 0.5. Значение для M устанавливает завал(спад) согласно аппроксимации:

EQUATION 16-3

Filter length vs. roll-off. The length of the filter kernel, M , determines the transition bandwidth of the filter, BW . This is only an approximation since roll-off depends on the particular window being used.

$$M \approx \frac{4}{BW}$$

where BW is the width of the transition band, measured from where the curve just barely leaves one, to where it almost reaches zero (say, 99% to 1% of the curve). The transition bandwidth is also expressed as a fraction of the sampling frequency, and must be between 0 and 0.5. Figure 16-3a shows an example of how this approximation is used. The three curves shown are generated from filter kernels with: $M = 20, 40, \text{ and } 200$. From Eq. 16-3, the transition bandwidths are: $BW = 0.2, 0.1, \text{ and } 0.02$, respectively. Figure (b) shows that the shape of the frequency response does not depend on the cutoff frequency selected.

Где BW - ширина переходной полосы, измеренной от того, где кривая только-только уезжает один, к тому, где это почти достигает нуля (скажем, 99% на 1% кривой). Переходная ширина полосы частот также выражена как дробь(доля) выборочной частоты, и должен между 0 и 0.5. Рисунок 16-3а показывает пример того, как эта аппроксимация используется. Три показанные кривые сгенерированы от ядер фильтра с: $M = 20, 40, \text{ и } 200$. От уравнения 16-3, переходной ширины полосы: $BW = 0.2, 0.1, \text{ и } 0.02$, соответственно. Рисунок (b) показывает, что форма частотной характеристики не зависит от отобранной граничной частоты.

Since the time required for a convolution is proportional to the length of the signals, Eq. 16-3 expresses a trade-off between *computation time* (depends on the value of M) and *filter sharpness* (the value of BW). For instance, the 20% slower roll-off of the Blackman window (as compared with the Hamming) can be compensated for by using a filter kernel 20% longer. In other words, it could be said that the Blackman window is 20% slower to execute than an equivalent roll-off Hamming window. This is important because the execution speed of windowed-sinc filters is already terribly slow.

Начиная с времени, требуемого для конволюции пропорционально к длине сигналов, уравнение 16-3 экспресс обмен между *временем вычисления* (зависит от значения M) и *остроты фильтра* (значение BW). Например, 20 % более медленный завал(спад) окна Блэкмана (по сравнению с Хеммингом) можно компенсировать, используя ядро фильтра 20 % дольше. Другими словами, можно сказать, что окно Блэкмана - 20 % медленнее, чтобы выполнить это эквивалентный завал(спад) окна Хемминга. Это важно, потому что быстроедействие выполнения фильтров windowed-sinc - уже ужасно медленно.

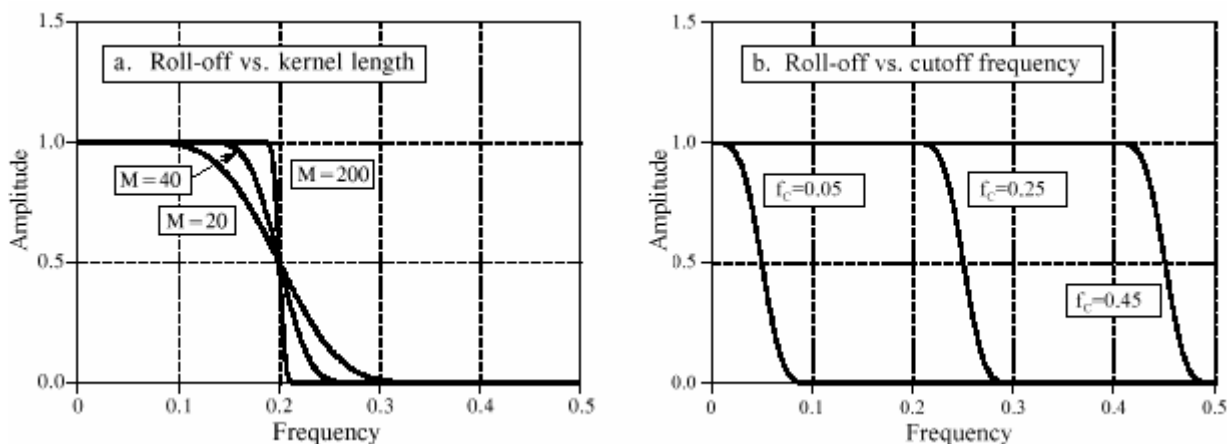


FIGURE 16-3

Filter length vs. roll-off of the windowed-sinc filter. As shown in (a), for $M = 20, 40,$ and 200 , the transition bandwidths are $BW = 0.2, 0.1,$ and 0.02 of the sampling rate, respectively. As shown in (b), the shape of the frequency response does not change with different cutoff frequencies. In (b), $M = 60$.

РИСУНОК 16-3. Длина Фильтра против завала(спада) фильтра windowed-sinc.

Как показано в (а), для $M = 20, 40,$ и 200 , переходные ширина полосы частот $BW = 0.2, 0.1,$ и 0.02 из частоты выборки, соответственно. Как показано в (b), форма частотной характеристики не изменяется с различными частотами останова(граничная частота; критическая частота; предельная частота; частота отсечки; частота среза). В (b), $M = 60$.

As also shown in Fig. 16-3b, the cutoff frequency of the windowed-sinc filter is measured at the *one-half amplitude* point. Why use 0.5 instead of the standard 0.707 (-3dB) used in analog electronics and other digital filters? This is because the windowed-sinc's frequency response is *symmetrical* between the passband and the stopband. For instance, the Hamming window results in a passband ripple of 0.2%, and an *identical* stopband attenuation (i.e., ripple in the stopband) of 0.2%. Other filters do not show this symmetry, and therefore have no advantage in using the one-half amplitude point to mark the cutoff frequency. As shown later in this chapter, this symmetry makes the windowed-sinc ideal for *spectral inversion*.

Как также показано в рис. 16-3b, граничная частота windowed-sinc фильтра измерена в *половины амплитуды* точки. Почему используется 0.5 вместо стандарта 0.707 (-3dB) используемого в аналоговой электронике и других цифровых фильтрах? Это - то, потому что частотная характеристика windowed-sinc's *симметрическая* между полосой пропускания и полосой задерживания. Например, Окно Хемминга приводит к неравномерности в полосе пропускания 0.2%, и *идентичного* ослабления полосы задерживания (то есть, рябь(пульсации) в полосе задерживания) 0.2%. Другие фильтры не показывают этой симметрии, и поэтому не имеют никакого преимущества в использовании половины амплитуды точки, чтобы отметить граничную частоту. Как показано позже в этой главе, эта симметрия делает windowed-sinc идеалом для спектральной инверсии.

After f_c and M have been selected, the filter kernel is calculated from the relation:

После того как f_c и M были отобраны, ядро фильтра рассчитано от отношения f_c :

EQUATION 16-4. The windowed-sinc filter kernel.

The cutoff frequency, f_c , is expressed as a fraction of the sampling rate, a value between 0 and 0.5. The length of the filter kernel is determined by M , which must be an even integer. The sample number i , is an integer that runs from 0 to M , resulting in total points in the filter $M+1$ kernel. The constant, K , is chosen to provide unity gain at zero frequency. To avoid a divide-by-zero error, for $i = M/2$, use $h[i] = 2\pi f_c K$

УРАВНЕНИЕ 16-4. Ядро Windowed-sinc фильтра.

Граничная частота, f_c , выражена как дробь(доля) частоты выборки, значение между 0 и 0.5. Длина ядра фильтра определена M , которое должно быть четным целым числом. Номер выборки i , является целым числом которое выполняется от 0 до M , приводя к полным(итоговым) точкам в фильтре. Константа, K , выбрана, чтобы обеспечить единичное усиление в нулевой частоте. Избегайте ошибки деления на ноль, для $i = M/2$, используя $h[i] = 2\pi f_c K$.

$$h[i] = K \frac{\sin(2\pi f_c (i - M/2))}{i - M/2} \left[0.42 - 0.5 \cos\left(\frac{2\pi i}{M}\right) + 0.08 \cos\left(\frac{4\pi i}{M}\right) \right]$$

Don't be intimidated by this equation! Based on the previous discussion, you should be able to identify three components: the *sinc function*, the *M/2 shift*, and the *Blackman window*. For the filter to have unity gain at DC, the constant K must be chosen such that the sum of all the samples is equal to one. In practice, ignore K during the calculation of the filter kernel, and then *normalize* all of the samples as needed. The program listed in Table 16-1 shows how this is done. Also notice how the calculation is handled at the center of the sinc, $i = M/2$, which involves a division by zero.

Не будьте запуганы этим уравнением! Базируясь на предыдущем обсуждении, Вы должны быть способны идентифицировать три компонента: *sinc функция*, *сдвиг M/2*, и *окно Блэксмана*. Для фильтра, чтобы иметь единичное усиление по постоянному току, константа K должна быть выбрана такой, что сумма всех выборок является равной единице. Практически, игнорируйте K в течение вычисления ядра фильтра, и затем нормализуйте все выборки как необходимо. Программа, перечисленная в таблице 16-1 показывает, как это сделано. Также обратите внимание, как вычисление обработано в центре sinc, $i = M/2$, который включает в себя (подразумевает) деление на ноль.

This equation may be long, but it is easy to use; simply type it into your computer program and forget it. Let the computer handle the calculations. If you find yourself trying to evaluate this equation by hand, you are doing something very very wrong.

Это уравнение может быть длинно, но это удобно; просто напечатайте это в вашу компьютерную программу, и забудьте это. Позвольте компьютеру обрабатывать вычисления. Если Вы пробуете оценивать это уравнение вручную, Вы делаете кое-что очень-очень неправильно.

Let's be specific about where the filter kernel described by Eq. 16-4 is located in your computer array. As an example, M will be chosen to be 100. Remember, M must be an even number. The first point in the filter kernel is in array location 0, while the last point is in array location 100. This means that the entire signal is 101 points long. The center of symmetry is at point 50, i.e. $M/2$. The 50 points to the left of point 50 are symmetrical with the 50 points to the right. Point 0 is the same value as point 100, and point 49 is the same as point 51. If you must have a specific number of samples in the filter kernel, such as to use the FFT, simply add zeros to one end or the other. For example, with $M = 100$, you could make samples 101 through 127 equal to zero, resulting in a filter kernel 128 points long.

Давайте быть специфичны, относительно того, где ядро фильтра, описанное уравнением 16-4 расположено в вашем компьютерном массиве. Как пример, M будет выбран, чтобы быть 100. Помните, M должно быть четным числом. Первая точка в ядре фильтра находится в расположении массива 0, в то время как последняя точка находится в расположении массива 100. Это означает, что полный сигнал - 101 точка длиной. Центр симметрии - в точке 50, то есть, $M/2$. 50 пунктов налево от точки 50 симметрические с 50 точками направо. Точка 0 - то же самое значение как точка 100, и точка 49 - та же самая как точка 51. Если Вы имели специфичное число выборок в ядре фильтра, типа использовать БПФ, просто прибавляя нули к одному концу или другому. Например, с $M = 100$, Вы могли делать выборки от 101 до 127 равными нулю, приводя к ядру фильтра 128 точек длиной.

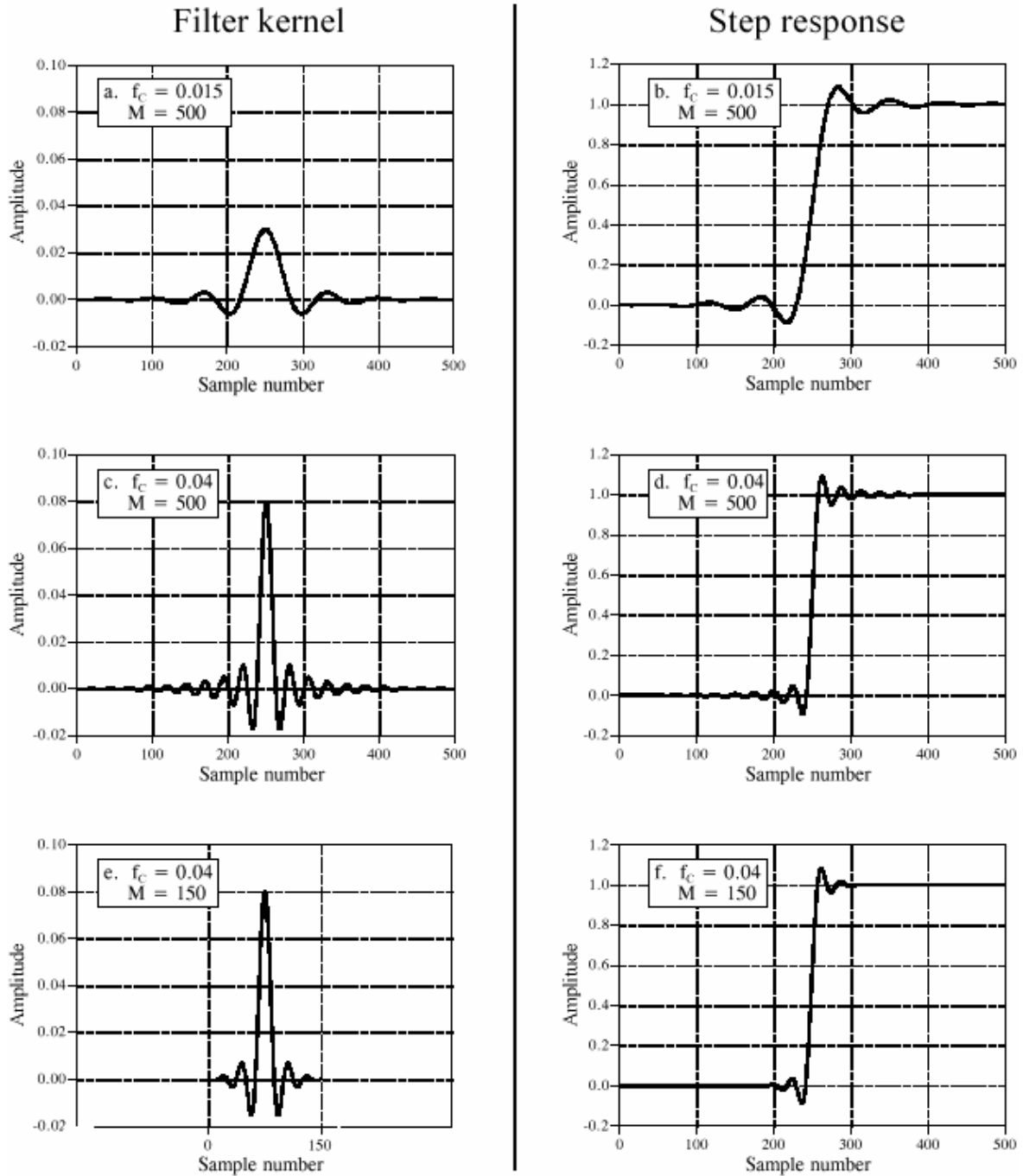


FIGURE 16-4

Example filter kernels and the corresponding step responses. The frequency of the sinusoidal oscillation is approximately equal to the cutoff frequency, f_c , while M determines the kernel length.

РИСУНОК 16-4. Пример ядра фильтра и соответствующей реакции на скачок. Частота синусоидального колебания приблизительно равна граничной частоте f_c , в то время как M определяет длину ядра.

Figure 16-4 shows examples of windowed-sinc filter kernels, and their corresponding step responses. The samples at the beginning and end of the filter kernels are so small that they can't even be seen in the graphs. Don't make the mistake of thinking they are unimportant! These samples may be small in value; however, they collectively have a large effect on the performance. This is also why floating point representation is typically used to implement windowed-sinc filters. Integers usually don't have enough dynamic range to capture the large variation of values contained in the filter kernel. How does the windowed-sinc filter perform in the time domain? Terrible! The step response has overshoot and ringing; this is *not* a filter for signals with information encoded in the time domain.

Рисунок 16-4 показывает примеры ядер windowed-sinc фильтра, и их соответствующие ответы шага(переходные характеристики). Выборки в начале и конце ядер фильтра настолько маленькие, что они не могут даже быть замечены в диаграммах(графиках). Не делайте ошибку из размышления об их незначительности! Эти выборки могут быть маленькими в значении; однако, они все вместе имеют большой эффект на эффективность, которой это является также, почему представление плавающей запятой типично используется, чтобы осуществить windowed-sinc фильтры. Целые числа обычно не имеют достаточно динамического диапазона, чтобы фиксировать большую вариацию значений, содержащихся в ядре фильтра. Как фильтр windowed-sinc исполняет в домене времени? Ужасно! Реакция на скачок имеет перерегулирование и звон; это - не фильтр для сигналов с информацией, закодированной в домене времени.

Examples of Windowed-Sinc Filters **Примеры Windowed-Sinc Фильтров**

An electroencephalogram, or EEG, is a measurement of the electrical activity of the brain. It can be detected as millivolt level signals appearing on electrodes attached to the surface of the head. Each nerve cell in the brain generates small electrical pulses. The EEG is the combined result of an enormous number of these electrical pulses being generated in a (hopefully) coordinated manner. Although the relationship between thought and this electrical coordination is very poorly understood, different frequencies in the EEG can be identified with specific mental states. If you close your eyes and relax, the predominant EEG pattern will be a slow oscillation between about 7 and 12 hertz. This waveform is called the *alpha rhythm*, and is associated with contentment and a decreased level of attention. Opening your eyes and looking around causes the EEG to change to the *beta rhythm*, occurring between about 17 and 20 hertz. Other frequencies and waveforms are seen in children, different depths of sleep, and various brain disorders such as epilepsy.

Электро энцефалограмма, или ЭКГ, является измерением электрического действия мозга. Это может быть обнаружено как сигналы на уровне милливольт, появляющиеся на электродах, приложенных к поверхности головы. Каждая ячейка нерва в мозгу генерирует маленькие электрические импульсы. ЭКГ - объединенный результат огромного числа этих электрических импульсов, сгенерированных (обнадеживающе) скоординированным способом. Хотя отношения между мыслью и этой электрической координацией очень плохо поняты, различные частоты в ЭКГ могут быть идентифицированы со специфическими умственными состояниями. Если Вы закрываете ваши глаза и расслабляетесь, преобладающий образец ЭКГ будет медленное колебание приблизительно между 7 и 12 герц. Эта форма волны называется *альфа ритмом*, и связана с удовлетворенностью и уменьшенным

уровнем внимания. Открытие ваших глаз и просмотра вокруг заставляет ЭКГ измениться к *бета ритму*, при появлении приблизительно между 17 и 20 герц. Другие частоты и формы волны замечены в дочерних записях, различных глубин бездействия, и различных мозговых нарушений типа эпилепсии.

In this example, we will assume that the EEG signal has been amplified by analog electronics, and then digitized at a sampling rate of 100 samples per second. Acquiring data for 50 seconds produces a signal of 5,000 points. Our goal is to separate the alpha from the beta rhythms. To do this, we will design a digital low-pass filter with a cutoff frequency of 14 hertz, or 0.14 of the sampling rate. The transition bandwidth will be set at 4 hertz, or 0.04 of the sampling rate. From Eq. 16-3, the filter kernel needs to be about 101 points long, and we will arbitrarily choose to use a Hamming window. The program in Table 16-1 shows how the filter is carried out. The frequency response of the filter, obtained by taking the Fourier Transform of the filter kernel, is shown in Fig. 16-5.

В этом примере, мы предположим, что сигнал ЭКГ был усилен аналоговой электроникой, и затем оцифрован с частотой выборки 100 выборок в секунду. Приобретение данных в течение 50 секунд производит сигнал 5000 точек. Наша цель состоит в том, чтобы отделить альфа ритмы от бета ритмов. Чтобы делать это, мы будем проектировать цифровой фильтр нижних частот с граничной частота 14 герц, или 0.14 от частоты выборки. От уравнения 16-3, ядро фильтра должно быть приблизительно 101 точка длиной, и мы произвольно выберем использовать окно Хемминга. Программа в таблице 16-1 показывает, как фильтр выполнен. Частотная характеристика фильтра, получена, беря преобразование Фурье(трансформанту Фурье) ядра фильтра, показывается в рис. 16-5.

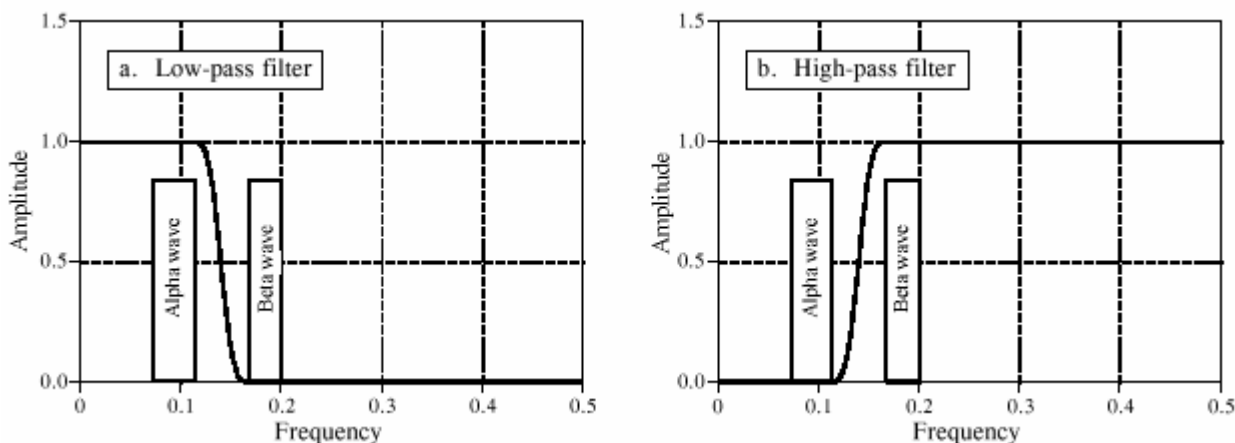


FIGURE 16-5 Example of windowed-sinc filters. The alpha and beta rhythms in an EEG are separated by low-pass and high-pass filters with $M = 100$. The program to implement the low-pass filter is shown in Table 16-1. The program $M = 100$ for the high-pass filter is identical, except for a *spectral inversion* of the low-pass filter kernel.

РИСУНОК 16-5. Пример фильтров windowed-sinc. Альфа бета ритмы в ЭКГ разделены фильтрами низких и высоких частот с $M = 100$. Программа, чтобы осуществить фильтр нижних частот показывается в таблице 16-1. Программа для фильтра верхних частот идентична, если бы не *спектральная инверсия* ядра фильтра нижних частот.

In a second example, we will design a *band-pass filter* to isolate a *signaling tone* in an audio signal, such as when a button on a telephone is pressed. We will assume that the signal has been digitized at 10 kHz, and the goal is to isolate an 80 hertz band of frequencies centered on 2 kHz. In terms of the sampling rate, we want to block all frequencies below 0.196 and above 0.204 (corresponding to 1960 hertz and 2040 hertz, respectively). To achieve a transition bandwidth of 50 hertz (0.005 of the sampling rate), we will make the filter kernel 801 points long, and use a Blackman window. Table 16-2 contains a program for calculating the filter kernel, while Fig. 16-6 shows the frequency response. The design involves several steps. First, *two* low-pass filters are designed, one with a cutoff at 0.196, and the other with a cutoff at 0.204. This second filter is

(c) АВТЭКС, Санкт-Петербург, <http://www.autex.spb.ru>, e-mail: info@autex.spb.ru

then *spectrally inverted*, making it a high-pass filter (see Chapter 14, Fig. 14-6). Next, the two filter kernels are added, resulting in a band-reject filter (see Fig. 14-8). Finally, another *spectral inversion* makes this into the desired band-pass filter.

Во втором примере, мы будем проектировать *полосовой фильтр*, чтобы изолировать тон передачи сигналов в звуковом сигнале, типа того, когда кнопка по телефону нажата. Мы предположим, что сигнал был цифровой в 10 кГц, и цель состоит в том, чтобы изолировать полосу частот 80 герц, центрированных на 2 кГц. В терминах частоты выборки, мы хотим блокировать все частоты ниже 0.196 и более чем 0.204 (передающий 1960 герц и 2040 герц, соответственно). Чтобы достигать переходной ширины полосы частот 50 герц (0.005 из частоты выборки), мы будем делать ядро фильтра 801 точек длиной, и использовать окно Блэкмана. Таблица 16-2 содержит программу для вычисления ядра фильтра, в то время как рис. 16-6 показывает частотную характеристику. Проектирование включает в себя несколько шагов. Во первых, *два* фильтра нижних частот разработаны (предназначены), один с остановом (частотой отсечки) в 0.196, и другой с остановом (частотой отсечки) в 0.204. Этот второй фильтр тогда *спектрально инвертирован*, делая это фильтром верхних частот (см. главу 14, рис. 14-6). Затем, два ядра фильтра добавлены, приводя к полосовому (заграждающему) фильтру (см. рис. 14-8). Наконец, другая спектральная инверсия делает это (превращает это) в желательный полосовой фильтр.

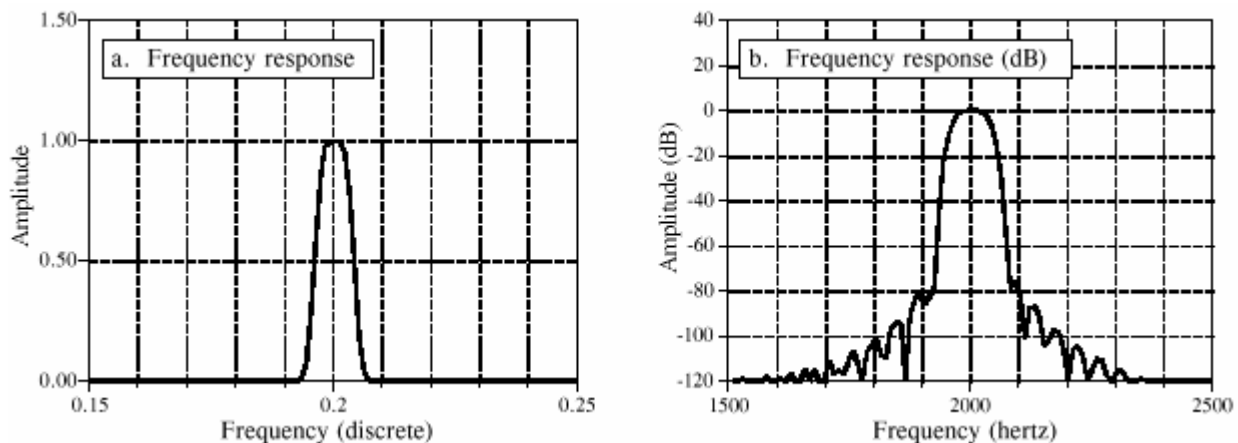


FIGURE 16-6 Example of a windowed-sinc band-pass filter. This filter was designed for a sampling rate of 10 kHz. When referenced to the analog signal, the center frequency of the passband is at 2 kHz, the passband is 80 hertz, and the transition bands are 50 hertz. The windowed-sinc uses 801 points in the filter kernel to achieve this roll-off, and a Blackman window for good stopband attenuation. Figure (a) shows the resulting frequency response on a linear scale, while (b) shows it in decibels. The frequency axis in (a) is expressed as a fraction of the sampling frequency, while (b) is expressed in terms of the analog signal before digitization.

```

100      'LOW-PASS WINDOWED-SINC FILTER
110      'This program filters 5000 samples with a 101 point windowed-sinc filter,
120      'resulting in 4900 samples of filtered data.
130      '
140 DIM X[4999]      'X[ ] holds the input signal
150 DIM Y[4999]      'Y[ ] holds the output signal
160 DIM H[100]       'H[ ] holds the filter kernel
170 '
180 PI = 3.14159265
190 FC = .14          'Set the cutoff frequency (between 0 and 0.5)
200 M% = 100         'Set filter length (101 points)
210 '
220 GOSUB XXXX       'Mythical subroutine to load X[ ]
230 '
240 '               'Calculate the low-pass filter kernel via Eq. 16-4
    
```

```

250 FOR I% = 0 TO 100
260 IF (I%-M%/2) = 0 THEN H[I%] = 2*PI*FC
270 IF (I%-M%/2) <> 0 THEN H[I%] = SIN(2*PI*FC * (I%-M%/2)) / (I%-M%/2)
280 H[I%] = H[I%] * (0.54 - 0.46*COS(2*PI*I%/M%))
290 NEXT I%
300 '
310 SUM = 0 'Normalize the low-pass filter kernel for
320 FOR I% = 0 TO 100 'unity gain at DC
330 SUM = SUM + H[I%]
340 NEXT I%
350 '
360 FOR I% = 0 TO 100
370 H[I%] = H[I%] / SUM
380 NEXT I%
390 '
400 FOR J% = 100 TO 4999 'Convolve the input signal & filter kernel
410 Y[J%] = 0
420 FOR I% = 0 TO 100
430 Y[J%] = Y[J%] + X[J%-I%] * H[I%]
440 NEXT I%
450 NEXT J%
460 '
470 END

```

TABLE 16-1

Pushing it to the Limit

Смещение этой (частоты?) к Пределу

The windowed-sinc filter can be pushed to incredible performance levels without nasty surprises. For instance, suppose you need to isolate a 1 millivolt signal riding on a 120 volt power line. The low-pass filter will need a stopband attenuation of at least -120dB (one part in one-million for those that refuse to learn decibels). As previously shown, the Blackman window only provides -74dB (one part in five-thousand). Fortunately, greater stopband attenuation is easy to obtain. The input signal can be filtered using a conventional windowed-sinc filter kernel, providing an intermediate signal. The intermediate signal can then be passed through the filter a second time, further increasing the stopband attenuation to -148dB (1 part in 30 million, wow!). It is also possible to combine the two stages into a single filter. The kernel of the combined filter is equal to the *convolution* of the filter kernels of the two stages. This also means that convolving any filter kernel *with itself* results in a filter kernel with a much improved stopband attenuation. The price you pay is a longer filter kernel and a slower roll-off. Figure 16-7a shows the frequency response of a 201 point low-pass filter, formed by convolving a 101 point Blackman windowed-sinc with itself. Amazing performance! (If you really need more than -100dB of stopband attenuation, you should use double precision. Single precision round-off noise on signals in the *passband* can erratically appear in the *stopband* with amplitudes in the -100dB to -120dB range).

Фильтр windowed-sinc может быть помещен в невероятные уровни эффективности без противных удивлений(неожиданностей). Например, предположите, что Вы должны изолировать 1 милливольт сигнал, сидящий на линии электропередачи 120 вольт. Фильтр нижних частот будет нуждаться в ослаблении полосы задерживания по крайней мере -120dB (ослабление в один миллион раз, для тех, которые отказывается изучать децибелы). Как предварительно показано, окно Блэкмана обеспечивает только -74dB (ослабление в пять тысяч раз). К счастью, получить большее ослабление полосы задерживания просто. Входной сигнал может быть фильтрован, используя обычное ядро windowed-sinc фильтра, обеспечивая промежуточный сигнал. Промежуточный сигнал можно тогда пропускать через фильтр второй раз, далее увеличивая ослабление полосы задерживания к -148dB (1 (с) АВТЭКС, Санкт-Петербург, <http://www.autex.spb.ru>, e-mail: info@autex.spb.ru

НАУЧНО-ТЕХНИЧЕСКОЕ РУКОВОДСТВО ПО ЦИФРОВОЙ ОБРАБОТКЕ СИГНАЛОВ

часть в 30 миллионах, ничего себе!). Также возможно комбинировать(объединить) две стадии в единственный(отдельный) фильтр. Ядро объединенного(комбинированного) фильтра равно *скручиванию(свертке)* ядер фильтра из двух стадий. Это также означает, что скручивание любого ядра фильтра *с собой* приводит к ядру фильтра с большим улучшенным ослаблением полосы задерживания. Цена, которую Вы платите - более длинное ядро фильтра и более медленный завал(спад). Рисунок 16-7а показывает частотную характеристику фильтра нижних частот 201 точки, сформированного, скручивая 101 точку Блэкман windowed-sinc с собой. Удивительная эффективность! (Если Вы действительно нуждаетесь в больше чем -100dB ослабления полосы задерживания, Вы должны использовать двойную прецизионность. Округление шума одинарной прецизионностью на сигналах в *полосе пропускания* может беспорядочно появляться в *полосе задерживания* с амплитудами в -100dB к диапазону -120dB).

```
100          'BAND-PASS WINDOWED-SINC FILTER
110          'This program calculates an 801 point band-pass filter kernel
120          '
130 DIM A[800]      'A[ ] workspace for the lower cutoff
140 DIM B[800]      'B[ ] workspace for the upper cutoff
150 DIM H[800]      'H[ ] holds the final filter kernel
160          '
170 PI = 3.1415926
180 M% = 800        'Set filter kernel length (801 points)
190          '
200          'Calculate the first low-pass filter kernel via Eq. 16-4,
210 FC = 0.196      'with a cutoff frequency of 0.196, store in A[ ]
220 FOR I% = 0 TO 800
230 IF (I%-M%/2) = 0 THEN A[I%] = 2*PI*FC
240 IF (I%-M%/2) <> 0 THEN A[I%] = SIN(2*PI*FC * (I%-M%/2)) / (I%-M%/2)
250 A[I%] = A[I%] * (0.42 - 0.5*COS(2*PI*I%/M%) + 0.08*COS(4*PI*I%/M%))
260 NEXT I%
270          '
280 SUM = 0         'Normalize the first low-pass filter kernel for
290 FOR I% = 0 TO 800 'unity gain at DC
300 SUM = SUM + A[I%]
310 NEXT I%
320          '
330 FOR I% = 0 TO 800
340 A[I%] = A[I%] / SUM
350 NEXT I%
360          'Calculate the second low-pass filter kernel via Eq. 16-4,
370 FC = 0.204      'with a cutoff frequency of 0.204, store in B[ ]
380 FOR I% = 0 TO 800
390 IF (I%-M%/2) = 0 THEN B[I%] = 2*PI*FC
400 IF (I%-M%/2) <> 0 THEN B[I%] = SIN(2*PI*FC * (I%-M%/2)) / (I%-M%/2)
410 B[I%] = B[I%] * (0.42 - 0.5*COS(2*PI*I%/M%) + 0.08*COS(4*PI*I%/M%))
420 NEXT I%
430          '
440 SUM = 0         'Normalize the second low-pass filter kernel for
450 FOR I% = 0 TO 800 'unity gain at DC
460 SUM = SUM + B[I%]
470 NEXT I%
480          '
490 FOR I% = 0 TO 800
500 B[I%] = B[I%] / SUM
510 NEXT I%
520          '
530 FOR I% = 0 TO 800          'Change the low-pass filter kernel in B[ ] into a high-pass
540 B[I%] = - B[I%]          'filter kernel using spectral inversion (as in Fig. 14-5)
550 NEXT I%
560 B[400] = B[400] + 1
570          '
580          '
590 FOR I% = 0 TO 800          'Add the low-pass filter kernel in A[ ], to the high-pass
600 H[I%] = A[I%] + B[I%] 'filter kernel in B[ ], to form a band-reject filter kernel
610 NEXT I% 'stored in H[ ] (as in Fig. 14-8)
```

```

620 '
630 FOR I% = 0 TO 800           'Change the band-reject filter kernel into a band-pass
640 H[I%] = -H[I%]           'filter kernel by using spectral inversion
650 NEXT I%
660 H[400] = H[400] + 1
670 '                           'The band-pass filter kernel now resides in H[ ]
680 END
    
```

TABLE 16-2

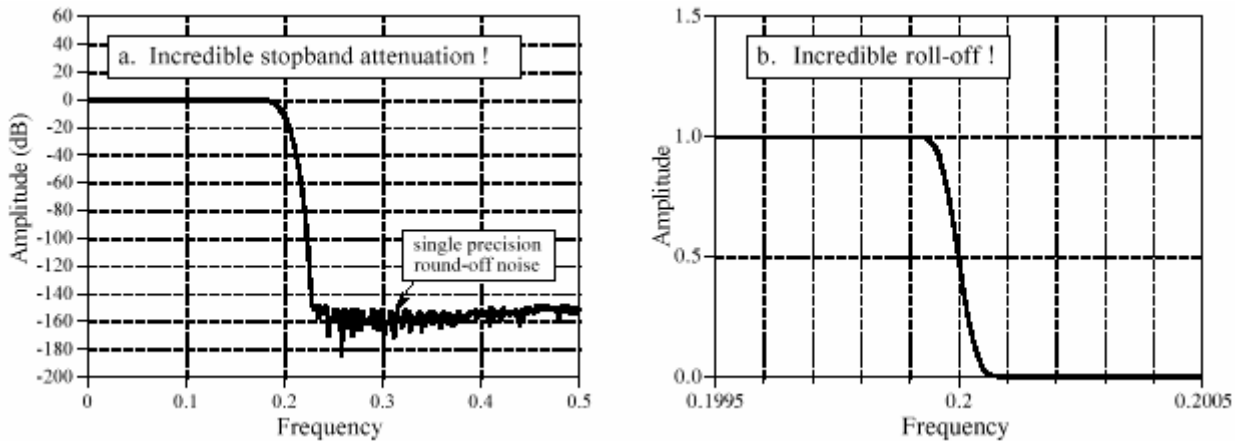


FIGURE 16-7

The incredible performance of the windowed-sinc filter. Figure (a) shows the frequency response of a windowed-sinc filter with increased stopband attenuation. This is achieved by convolving a windowed-sinc filter kernel with itself. Figure (b) shows the very rapid roll-off a 32,001 point windowed-sinc filter.

РИСУНОК 16-7. Невероятная эффективность фильтра windowed-sinc.

Рисунок (а) показывает частотную характеристику фильтра windowed-sinc с увеличенным ослаблением полосы задерживания. Это достигнуто, скручивая ядро windowed-sinc фильтра с собой. Рисунок (б) показывает самый быстрый завал(спад) 32001 точкой windowed-sinc фильтра.

Figure 16-7b shows another example of the windowed-sinc's incredible performance: a low-pass filter with 32,001 points in the kernel. The frequency response appears as expected, with a roll-off of 0.000125 of the sampling rate. How good is this filter? Try building an analog electronic filter that passes signals from DC to 1000 hertz with less than a 0.02% variation, and blocks all frequencies above 1001 hertz with less than 0.02% residue. Now that's a filter! If you really want to be impressed, remember that both the filters in Fig. 16-7 use *single precision*. Using *double precision* allows these performance levels to be extended by a *million* times.

Рисунок 16-7б показывает другой пример невероятной эффективности windowed-sinc's: фильтра нижних частот с 32001 точками в ядре. Частотная характеристика появляется как ожидается, с завалом(спадом) 0.000125 частоты выборки. Насколько хороший - этот фильтр? Пробуйте формировать аналоговый электронный фильтр, который передает сигналы от постоянного тока до 1000 герц с вариацией меньше чем 0.02 %, и блоками все частоты более чем 1001 герц с остатком меньше чем 0.02 %. Теперь это - фильтр! Если Вы действительно хотите быть увлеченными, помните, что оба фильтра в рис. 16-7 используют *одинарную прецизионность*. Использование *двойной прецизионности* позволяет этим уровням эффективности быть расширенным в *миллион* раз.

The strongest limitation of the windowed-sinc filter is the *execution time*; it can be unacceptably long if there are many points in the filter kernel and standard convolution is used. A high-speed algorithm for this filter (FFT convolution) is presented in Chapter 18. Recursive filters (Chapter 19) also provide good frequency separation and are a reasonable alternative to the windowed-sinc filter.

Самое сильное ограничение фильтра windowed-sinc - время выполнения; может быть неприемлемо долго, если имеются много точек в ядре фильтра, и используется стандартное скручивание. Высокоскоростной алгоритм для этого фильтра (скручивание БПФ) представлен в главе 18. Рекурсивные фильтры (глава 19) также обеспечивают хорошее разделение по частоте и - разумная альтернатива фильтру windowed-sinc.

Is the windowed-sinc the optimal filter kernel for separating frequencies? No, filter kernels resulting from more sophisticated techniques can be better. But beware! Before you jump into this very mathematical field, you should consider exactly what you hope to gain. The windowed-sinc will provide *any* level of performance that you could possibly need. What the advanced filter design methods may provide is a slightly shorter filter kernel for a given level of performance. This, in turn, may mean a slightly faster execution speed. Be warned that you may get little return for the effort expended.

Является ли ядро фильтра windowed-sinc оптимальным для отделения частот? Нет, ядра фильтров, следующие из более сложных методов могут быть лучше. Но остерегайтесь! Прежде, чем Вы переходите в это очень математическое поле, Вы должны рассмотреть точно, что Вы надеетесь извлекать пользу. Windowed-sinc обеспечит любой уровень эффективности, в котором Вы могли возможно нуждаться. Что продвинутые методы проекта фильтра могут обеспечивать - слегка более короткое ядро фильтра для данного уровня эффективности. Это, в свою очередь, может означать слегка более быстрое быстроедействие выполнения. Предупреждаем, что Вы можете получить немного отдачи относительно приложенного усилия.